

# تحلیل آسایش تنش در لایه‌های چسب ویسکوالاستیک ورق ساندویچی پنج لایه با رویه‌های مدرج تابعی

استاد، گروه مهندسی مکانیک، دانشگاه شهید چمران اهواز، اهواز، ایران، mshishehsaz@scu.ac.ir  
 دکتری تخصصی، گروه مهندسی مکانیک، دانشگاه شهید چمران اهواز، اهواز، ایران، haddadsoleymani@gmail.com  
 استادیار، گروه مهندسی مکانیک، دانشگاه شهید چمران اهواز، اهواز، ایران، mosalmani@scu.ac.ir

**محمد شیشه‌ساز**  
**سیاوش حداد سلیمانی\***  
**رضا مسلمانی**

## چکیده

در این تحقیق، به بررسی آسایش تنش در لایه‌های چسب یک ورق مربعی متقارن پنج‌لایه تحت بار عرضی گسترده یکنواخت با استفاده از روش نظریه لایه‌ای بر پایه نظریه برشی مرتبه اول ورق‌ها پرداخته شده است. رویه‌های مدرج تابعی ورق ساندویچی توسط دو لایه چسب ویسکوالاستیک به هسته همگن متصل شده‌اند. با استفاده از اصل کار مجازی، معادلات حاکم بر مسئله استخراج شده و به فضای لاپلاس تبدیل گشته‌اند. با استفاده از روش حل ناویر، میدان‌های جابجایی تعیین گشته و توسط روش لاپلاس معکوس عددی به حوزه زمان بازگردانده شده‌اند. برای صحت‌سنجی، حل المان محدود مسئله نیز انجام شده و مقایسه نتایج دو روش، تطابق خوبی را نشان داده است. نتایج هر دو روش بیانگر آنست که مؤلفه‌های تنش درون صفحه و برون صفحه در راستای ضخامت چسب تقریباً ثابت بوده ولی مقادیر قابل توجه دارند. به علاوه، بیشینه تنش‌های درون صفحه  $\sigma_x$  و  $\tau_{xy}$  بستگی زیادی به مقادیر مدول الاستیک چسب، شاخص تابع توانی رویه‌ها و خواص ویسکوالاستیک لایه‌های چسب دارد. لذا برای یک طراحی ایمن در ورق‌های ساندویچی نازک، وجود لایه‌های چسب ویسکوالاستیک باید در فرمول‌بندی لحاظ شده و قابل اغماض نیستند.

**واژه‌های کلیدی:** ورق ساندویچی پنج لایه، نظریه لایه‌ای، مواد مدرج تابعی، چسب ویسکوالاستیک، مدل جامد سه پارامتری، روش المان محدود.

## Stress Relaxation Analysis in Viscoelastic Adhesive Layers of the Five-Layer Sandwich Plate with Functionally Graded Face Sheets

**M. Shishehsaz** Department of Mechanical Engineering, Shahid Chamran University of Ahvaz, Ahvaz, Iran  
**S. Haddad Soleymani** Department of Mechanical Engineering, Shahid Chamran University of Ahvaz, Ahvaz, Iran  
**R. Mosalmani** Department of Mechanical Engineering, Shahid Chamran University of Ahvaz, Ahvaz, Iran

### Abstract

In this study, the layerwise theory, along with the first-order shear deformation theory, was employed to investigate the relaxation of stresses in the adhesive layers of a symmetric five-layer square sandwich plate subjected to a uniformly distributed load. The functionally graded face sheets were bonded to the homogeneous core using two thin layers of viscoelastic adhesive. Using the principle of virtual work, the governing equations were derived and transformed into the Laplace domain. The displacement fields were then obtained by applying the Navier solution and converted back to the time domain using the numerical inverse Laplace transform. The results were verified through finite element analysis, showing good agreement between the two approaches. Both methods revealed that the in-plane and out-of-plane stress components remain almost constant across the adhesive thickness but have considerable magnitudes. Additionally, the maximum adhesive planar stresses  $\sigma_x$  and  $\tau_{xy}$  are highly dependent on the magnitude of the adhesive elastic modulus, power index, and viscoelastic properties of the adhesive layer. Therefore, it was concluded that for a safe design in thin sandwich plates, the presence of viscoelastic adhesive layers must be considered in the formulation and their effect should not be ignored.

**Keywords:** five-layer sandwich plate, layerwise theory, functionally graded materials, viscoelastic adhesive, three-parameter solid model, finite element method.

است که مقالات مروری کاررا و همکاران [۳،۲،۱]، صیاد و همکاران [۵،۴]، تای و کیم [۶]، گور و همکاران [۷]، لی [۸] و گارگ [۹] به طور مفصل به این امر پرداخته‌اند. به بخشی از مطالعات اخیر در این زمینه اشاره می‌گردد.

شعبان و ملاعلی پور [۱۰]، به بررسی خمش پنل ساندویچی با هسته موجدار با استفاده از یک حل تحلیلی مبتنی بر روش سری توانی پرداختند. مزیت روش انتخابی آن‌ها در این بود که امکان حل مسئله با شرایط مرزی مختلف میسر گردید. در این پژوهش، پنل ساندویچی بر روی تکیه‌گاه الاستیک قرار دارد و تأثیر پارامترهای مختلف نظیر ضخامت هسته، ضخامت روکش، طول گام، سختی تکیه‌گاه الاستیک و... بر روی خیز ورق بررسی شده است. دارایی و همکاران [۱۱]، به

### ۱- مقدمه

اهمیت و کاربرد زیاد ورق‌های ساندویچی در صنایع مختلف، به دلیل مقاومت خمشی بالا و وزن پایین آنها بر کسی پوشیده نیست. لذا تحقیقات بسیار زیادی در این زمینه بر پایه‌ی نظریه‌های تک‌لایه‌ی معادل ( $ESL^1$ )، نظریه‌های لایه‌ای ( $LW^2$ )، نظریه‌های زیگزاگ ( $ZZ^3$ )، حل الاستیسیته‌ی دقیق و مدل‌سازی‌های المان محدود انجام شده

<sup>1</sup> Equivalent Single Layer

<sup>2</sup> Layer Wise

<sup>3</sup> Zig-Zag

مطالعه کمانش پوسته‌های مرکب دو انحنایی با هسته مشبک و رویه‌های تقویت شده با نانو لوله‌های کربنی پرداختند. در این پژوهش، معادله کمانش با استفاده از روش حداقل انرژی پتانسیل و نظریه مرتبه سوم ردی استخراج شده و بر اساس روش نایبر برای شرایط مرزی مختلف حل شده است. نتایج این تحقیق نشان می‌دهد که با انتخاب مناسب پارامترهای هندسی هسته مشبک می‌توان با حداقل میزان نانو لوله‌های کربنی، تحمل بار کمانشی پوسته را بیشینه کرد. مهندسی و طالبی توتی [۱۲]، ارتعاشات غیرخطی پوسته استوانه‌ای ساندویچی با هسته دارای ضریب پواسون منفی را مورد مطالعه قرار دادند و در نهایت اثرات پارامترهای هندسی هسته و رویه‌ها را بر روی فرکانس‌های طبیعی و شکل مودها بررسی کردند.

در اغلب تحقیقات انجام شده در زمینه ورق‌های ساندویچی، به اتصال چسبی رویه‌ها به هسته توجه نمی‌شود و ورق ساندویچی به صورت سه لایه در نظر گرفته می‌شود. نظر به این‌که تنش‌های بیش از حد در لایه‌های چسب، منجر به جدایش هسته از رویه‌ها می‌گردد، بررسی دقیق‌تر توزیع تنش در این ناحیه، ضروری به نظر می‌رسد. ریسی و همکاران [۱۴،۱۳] در دو تحقیق مجزا، به بررسی توزیع تنش در لایه چسب یک ورق ساندویچی پنج لایه پرداختند. در این تحقیق، دو لایه نازک چسب با رفتار الاستیک، اتصال هسته را به رویه‌ها برقرار کرده است. ورق تحت بار گسترده یکنواخت قرار دارد و از روش نظریه لایه‌ای بر پایه تغییرشکل برشی مرتبه اول و همچنین بر پایه نظریه‌های تغییرشکل برشی مرتبه بالاتر، برای حل توزیع تنش در لایه‌ها استفاده شده است. در نهایت اثرات خواص رویه‌های تابعی و همچنین خواص مکانیکی و هندسه‌ی هسته و لایه‌های چسب بر روی توزیع تنش در ورق ساندویچی پنج لایه مورد مطالعه قرار گرفته است. نتایج آن‌ها نشان داد که روش پیشنهادی در مقایسه با روش اجزاء محدود، در محاسبه‌ی تنش‌های درون‌صفحه در لایه‌های چسب از دقت بسیار خوبی برخوردار است. شیشه‌ساز و همکاران [۱۵]، از روش تحلیلی نظریه لایه‌ای و روش اجزای محدود برای تعیین تنش‌ها در لایه‌های چسب در یک ورق ساندویچی دایره‌ای پنج‌لایه تحت بار یکنواخت استفاده کردند. دو لایه چسب، هسته را به رویه‌های مدرج تابعی می‌چسبانند. در روش تحلیلی نظریه لایه‌ای، از نظریه‌های تغییرشکل برشی مرتبه سوم و هذلولی استفاده شده و نتایج آنها با یکدیگر مقایسه شده است. نتایج نشان داده است که در مورد تنش‌های صفحه‌ای انطباق خوبی بین نتایج عددی با نتایج تحلیلی از هر دو روش وجود دارد اما تنش‌های برشی خارج از صفحه مستخرج از نظریه هذلولی به یافته‌های اجزاء محدود نزدیک‌تر است. کردونی و همکاران [۱۷،۱۶] در دو تحقیق جداگانه، به بررسی اثر اتصال چسبی هسته به رویه‌های مدرج تابعی بر روی خمش و ارتعاش آزاد یک ورق ساندویچی مستطیلی که بر روی پایه‌ی الاستیک وینکلر قرار داشته و تحت اثر تغییرات دمایی می‌باشد پرداختند. در این پژوهش‌ها از روش نظریه لایه‌ای بر پایه‌ی تغییرشکل برشی مرتبه اول ورق استفاده شده است. نتایج تحلیلی با حل المان محدود سه‌بعدی با استفاده از نرم‌افزار ABAQUS مقایسه شده است و دقت و کارآمدی روش تحلیلی پیشنهادی مورد تأیید واقع شده است.

همانگونه که مشاهده می‌شود محدود پژوهش‌های انجام شده در رابطه با ورق ساندویچی پنج لایه، تماما با فرض رفتار الاستیک چسب

انجام پذیرفته است از آنجایی که اکثر چسب‌های پلیمری رفتار ویسکوالاستیک از خود نشان می‌دهند، نیاز است تا پیگیری تنش‌های ایجاد شده در لایه‌ی چسب در ورق ساندویچی پنج لایه، با در نظر گرفتن رفتار ویسکوالاستیک چسب انجام شده و اثر گذشت زمان بر روی بیشینه‌ی تنش‌ها مورد بررسی قرار گیرد. ویسکوالاستیسیته بیانگر ترکیبی از خاصیت الاستیسیته جامدات و لزجت سیالات است. رفتار مواد ویسکوالاستیک تحت تأثیر آهنگ کرنش یا تنش قرار دارد، لذا تابعی از زمان می‌باشد. برای بیان رفتار خواص مهندسی این مواد در طول زمان، دو آزمایش وجود دارد: تست خزش<sup>۱</sup> و تست آسایش<sup>۲</sup>. خزش به معنی افزایش کرنش‌های ماده تحت تنش ثابت می‌باشد و آسایش به معنی کاهش تنش‌ها در شرایط کرنش ثابت برای ماده ویسکوالاستیک است. از تست خزش، رفتار مدول نرمی مواد ویسکوالاستیک  $(D(t))$  و از تست آسایش، رفتار مدول سختی  $(E(t))$  بر اساس زمان مشخص می‌شود.

در این تحقیق، از اصل تطابق آلفری برای شبیه‌سازی حل مسئله ویسکوالاستیک بر پایه‌ی روش حل الاستیک استفاده شده است. روند حل، بر پایه نظریه لایه‌ای و استفاده از نظریه برشی مرتبه اول برای هر لایه می‌باشد و استخراج معادلات حاکم بر اساس اصل کمینه انرژی پتانسیل صورت پذیرفته و برای حل معادلات از روش نایبر استفاده شده است. نهایتاً از روش معکوس لاپلاس‌گیری عددی جهت دست‌یابی به توابع تنش در حوزه‌ی زمان استفاده گردیده است.

## ۲- فرضیات مسئله و معادلات حاکم

هدف از این تحقیق، بررسی تغییرات زمانی تنش‌های ایجاد شده در لایه‌های چسب ویسکوالاستیک در یک ورق مربعی ساندویچی متقارن (شکل ۱)، تحت بار گسترده‌ی یکنواخت می‌باشد. این ورق شامل پنج لایه می‌باشد که هسته‌ی همگن آن توسط دو لایه نازک از چسب اپوکسی، به رویه‌های مدرج تابعی (FGM) متصل شده است. لایه‌های چسب رفتار ویسکوالاستیک خطی داشته و سایر لایه‌ها خواص الاستیک خطی دارند. ورق از چهار طرف بر روی تکیه‌گاه‌های ساده قرار دارد و بار گسترده‌ی یکنواخت  $q$ ، به صورت عرضی بر سطح فوقانی ورق وارد شده است. لایه‌های چسب، با ضخامت ثابت در نظر گرفته شده و هیچگونه جدایشی بین چسب و سایر لایه‌ها وجود ندارد. مبدا مختصات بر روی صفحه میانی هسته و در یک گوشه‌ی ورق در نظر گرفته شده است. محور  $z$  به سمت پایین ورق می‌باشد و شماره‌گذاری لایه‌ها از بالا به پایین انتخاب شده است. برای هر لایه، مختصه  $z_i$  از صفحه میانی همان لایه در جهت پایین اندازه‌گیری می‌شود.  $a$  و  $b$  طول و پهناهای ورق و  $h$  ضخامت آن می‌باشد. ضخامت رویه، چسب و هسته به ترتیب  $h_1$  و  $h_2$  و  $h_3$  می‌باشد.

<sup>1</sup> Creep

<sup>2</sup> Relaxation

$$u^{(3)} = u_0 + z_3 \varphi_x^{(3)} \quad (۵-۳)$$

$$v^{(3)} = v_0 + z_3 \varphi_y^{(3)} \quad (۶-۳)$$

$$u^{(4)} = u_0 + \frac{h_3}{2} \varphi_x^{(3)} + \frac{h_2}{2} \varphi_x^{(4)} + z_4 \varphi_x^{(4)} \quad (۷-۳)$$

$$v^{(4)} = v_0 + \frac{h_3}{2} \varphi_y^{(3)} + \frac{h_2}{2} \varphi_y^{(4)} + z_4 \varphi_y^{(4)} \quad (۸-۳)$$

$$u^{(5)} = u_0 + \frac{h_3}{2} \varphi_x^{(3)} + h_2 \varphi_x^{(4)} + \frac{h_1}{2} \varphi_x^{(5)} + z_5 \varphi_x^{(5)} \quad (۹-۳)$$

$$v^{(5)} = v_0 + \frac{h_3}{2} \varphi_y^{(3)} + h_2 \varphi_y^{(4)} + \frac{h_1}{2} \varphi_y^{(5)} + z_5 \varphi_y^{(5)} \quad (۱۰-۳)$$

$$w^{(1)} = w^{(2)} = w^{(3)} = w^{(4)} = w^{(5)} = w_0 \quad (۱۱-۳)$$

طبق اصل آلفری برای تحلیل ویسکوالاستیک، کافیت ابتدا حل الاستیک آن را انجام داده سپس همه توابع (نظیر تنش، کرنش، جابجایی و ...) با تبدیل لاپلاس آن‌ها در همان روابط جایگزین گردند [۱۹]. همچنین ثابت‌های الاستیک، با ثابت‌های معادل خود که  $s$  برابر تبدیل یافته (لاپلاسین) آن ضرب می‌باشد جایگزین شوند [۱۹]. (شایان ذکر است بالانویس  $(\bar{\quad})$  بر روی توابع، نشان‌دهنده تبدیل یافته آنها در حوزه لاپلاس و علامت  $*$  ( ) بیانگر ضرب معادل می‌باشد). لذا مؤلفه‌های کرنش در لایه‌های مختلف را بر اساس میدان‌های جابجایی به صورت زیر می‌توان نوشت [۲۰]:

$$\begin{pmatrix} \bar{\epsilon}_x \\ \bar{\epsilon}_y \\ \bar{\gamma}_{xy} \\ \bar{\gamma}_{yz} \\ \bar{\gamma}_{xz} \end{pmatrix}^{(k)} = \begin{bmatrix} \partial/\partial x & 0 & 0 \\ 0 & \partial/\partial y & 0 \\ \partial/\partial y & \partial/\partial x & 0 \\ 0 & \partial/\partial z & \partial/\partial y \\ \partial/\partial z & 0 & \partial/\partial x \end{bmatrix} \begin{pmatrix} \bar{u} \\ \bar{v} \\ \bar{w} \end{pmatrix}^{(k)}, \quad k=1, \dots, 5 \quad (۴)$$

ارتباط تنش-کرنش برای هر لایه بر اساس ماتریس سختی آن لایه به صورت معادلات (۵) و (۶) نوشته می‌شود [۲۰].

$$\begin{pmatrix} \bar{\sigma}_x \\ \bar{\sigma}_y \\ \bar{\tau}_{xy} \end{pmatrix}^{(k)} = \begin{bmatrix} \bar{Q}_{11}^*(k) & \bar{Q}_{12}^*(k) & 0 \\ \bar{Q}_{12}^*(k) & \bar{Q}_{22}^*(k) & 0 \\ 0 & 0 & \bar{Q}_{66}^*(k) \end{bmatrix} \begin{pmatrix} \bar{\epsilon}_x \\ \bar{\epsilon}_y \\ \bar{\gamma}_{xy} \end{pmatrix}^{(k)}, \quad k=1, \dots, 5 \quad (۵)$$

$$\begin{pmatrix} \bar{\tau}_{yz} \\ \bar{\tau}_{xz} \end{pmatrix}^{(k)} = \begin{bmatrix} \bar{Q}_{44}^*(k) & 0 \\ 0 & \bar{Q}_{55}^*(k) \end{bmatrix} \begin{pmatrix} \bar{\gamma}_{yz} \\ \bar{\gamma}_{xz} \end{pmatrix}^{(k)}, \quad k=1, \dots, 5 \quad (۶)$$

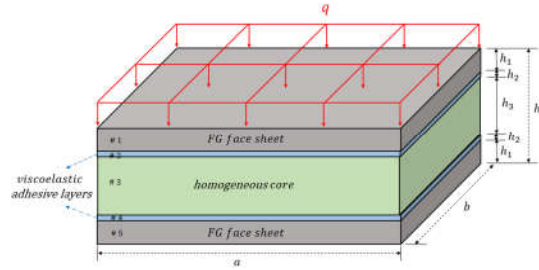
مؤلفه‌های معادل شده‌ی ماتریس سختی هر لایه  $\bar{Q}_{ij}^{*(k)}$ ، به صورت روابط (۷) الی (۹) تعریف می‌گردند [۲۰].

$$\bar{Q}_{11}^*(k) = \bar{Q}_{22}^*(k) = \frac{\bar{E}_k^*}{1 - \nu_k^*}, \quad k=1, \dots, 5 \quad (۷)$$

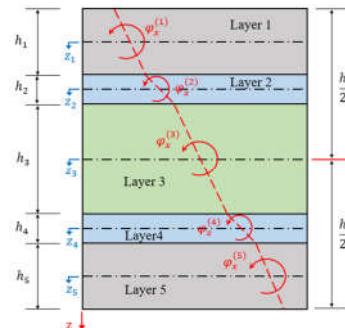
$$\bar{Q}_{12}^*(k) = \nu_k^* \bar{Q}_{11}^*(k), \quad k=1, \dots, 5 \quad (۸)$$

$$\bar{Q}_{44}^*(k) = \bar{Q}_{55}^*(k) = \bar{Q}_{66}^*(k) = \bar{G}_k^*, \quad k=1, \dots, 5 \quad (۹)$$

ضرایب مهندسی معادل برای رویه‌ها و هسته که رفتار ویسکوالاستیک ندارند دقیقاً برابر با همان مقادیر وضعیت الاستیک می‌باشد. اما برای لایه‌های چسب در وضعیت ویسکوالاستیک، مؤلفه‌های



شکل ۱- ورق ساندویچی پنج لایه‌ی متقارن



شکل ۲- جابجایی نقاط در لایه‌های مختلف ورق پنج لایه ساندویچی طبق نظریه برشی مرتبه اول

رویه‌های مدرج تابعی از جنس سرامیک و فلز بوده که توزیع مواد در آنها طبق توابع توانی در امتداد ضخامت تغییر می‌کند. لذا مدول الاستیک رویه‌ها تابع مختصه  $z$  بوده و به صورت معادلات (۱) و (۲) بیان می‌گردد. در این روابط  $E_c$  و  $E_m$  به ترتیب مدول یانگ فلز و سرامیک بوده و  $p$  شاخص تابع توانی می‌باشد. به دلیل تغییرات اندک ضریب پواسون، این ضریب در راستای ضخامت ثابت در نظر گرفته شده است.

$$E_1(z_1) = \left( \frac{1}{2} - \frac{z_1}{h_1} \right)^p (E_c - E_m) + E_m \quad (۱)$$

$$E_5(z_5) = \left( \frac{1}{2} + \frac{z_5}{h_1} \right)^p (E_c - E_m) + E_m \quad (۲)$$

خواص مکانیکی چسب همگن اپوکسی تابع زمان بوده و برای توصیف رفتار ویسکوالاستیک آن، از مدل جامد سه پارامتری در بیان رفتار برشی و حجمی به صورت جداگانه استفاده شده است (به پیوست رجوع شود). مطابق با نظریه لایه‌ای برای ورق ساندویچی و بر پایه‌ی نظریه مرتبه اول برشی برای هر لایه (شکل ۲)، میدان‌های جابجایی در لایه‌های اول تا پنجم، بر اساس جابجایی‌های صفحه‌ی میانی ورق ساندویچی و شرط پیوستگی به صورت روابط (۳-الف) الی (۳-ک) به دست می‌آیند.

$$u^{(1)} = u_0 - \frac{h_3}{2} \varphi_x^{(3)} - h_2 \varphi_x^{(2)} - \frac{h_1}{2} \varphi_x^{(1)} + z_1 \varphi_x^{(1)} \quad (۳-الف)$$

$$v^{(1)} = v_0 - \frac{h_3}{2} \varphi_y^{(3)} - h_2 \varphi_y^{(2)} - \frac{h_1}{2} \varphi_y^{(1)} + z_1 \varphi_y^{(1)} \quad (۳-ب)$$

$$u^{(2)} = u_0 - \frac{h_3}{2} \varphi_x^{(3)} - \frac{h_2}{2} \varphi_x^{(2)} + z_2 \varphi_x^{(2)} \quad (۳-ج)$$

$$v^{(2)} = v_0 - \frac{h_3}{2} \varphi_y^{(3)} - \frac{h_2}{2} \varphi_y^{(2)} + z_2 \varphi_y^{(2)} \quad (۳-د)$$

معادل با ضرب s در لاپلاس مدول مربوطه نتیجه خواهد شد [۱۹].

$$\bar{E}_k^*(s) = s\bar{E}_k(s) = \frac{9\bar{K}_k^* \bar{G}_k^*}{3\bar{K}_k^* + \bar{G}_k^*} \quad k = 2,4 \quad (10)$$

$$\bar{V}_k^*(s) = s\bar{V}_k(s) = \frac{3\bar{K}_k^* - 2\bar{G}_k^*}{6\bar{K}_k^* + 2\bar{G}_k^*} \quad k = 2,4 \quad (11)$$

$\bar{K}^*$  و  $\bar{G}^*$  در پیوست معرفی شده‌اند.

با استفاده از روابط (۴) الی (۶)، نیروها و گشتاورهای منتجه بر حسب کرنش‌ها به فرم روابط (۱۲) و (۱۳) نوشته می‌شود [۲۰].

$$\begin{pmatrix} \bar{N}_x^{(k)} \\ \bar{N}_{xy}^{(k)} \\ \bar{M}_x^{(k)} \\ \bar{M}_y^{(k)} \\ \bar{M}_{xy}^{(k)} \end{pmatrix} = \begin{bmatrix} \bar{A}^* & \bar{B}^* \\ \bar{B}^* & \bar{D}^* \end{bmatrix}^{(k)} \begin{pmatrix} \bar{\epsilon}_x^{0(k)} \\ \bar{\epsilon}_y^{0(k)} \\ \bar{\gamma}_{xy}^{0(k)} \\ \bar{\epsilon}_x^{1(k)} \\ \bar{\epsilon}_y^{1(k)} \\ \bar{\gamma}_{xy}^{1(k)} \end{pmatrix}, \quad k = 1, \dots, 5 \quad (12)$$

$$\begin{pmatrix} \bar{Q}_y^{(k)} \\ \bar{Q}_x^{(k)} \end{pmatrix} = k_s \begin{bmatrix} \bar{A}_{44}^* & 0 \\ 0 & \bar{A}_{55}^* \end{bmatrix}^{(k)} \begin{pmatrix} \bar{\gamma}_{yz}^{0(k)} \\ \bar{\gamma}_{xz}^{0(k)} \end{pmatrix}, \quad k = 1, \dots, 5 \quad (13)$$

درجایی که هریک از مؤلفه‌های ماتریس‌های A و B و D از روابط زیر به‌دست می‌آید [۲۰]:

$$\left( \bar{A}_{ij}^*(k), \bar{B}_{ij}^*(k), \bar{D}_{ij}^*(k) \right) = \int_{-\frac{h_i}{2}}^{\frac{h_i}{2}} \bar{Q}_{ij}^*(k) (1, z_k, z_k^2) dz^{(k)} \quad (14)$$

,  $i, j = 1, 2, 6$

$$\bar{A}_{ij}^*(k) = \int_{-\frac{h_i}{2}}^{\frac{h_i}{2}} \bar{Q}_{ij}^*(k) dz^{(k)}, \quad i, j = 4, 5 \quad (15)$$

برای یافتن معادلات حاکم، مطابق اصل کمینه انرژی پتانسیل می‌توان نوشت [۲۰]:

$$\int_a^b \int_0^b \sum_{k=1}^5 \left[ \begin{aligned} & \left( \bar{N}_x^{(k)} \delta_{\bar{\epsilon}_x}^{0(k)} + \bar{M}_x^{(k)} \delta_{\bar{\epsilon}_x}^{-1(k)} \right) + \\ & \left( \bar{N}_y^{(k)} \delta_{\bar{\epsilon}_y}^{0(k)} + \bar{M}_y^{(k)} \delta_{\bar{\epsilon}_y}^{-1(k)} \right) + \\ & \left( \bar{N}_{xy}^{(k)} \delta_{\bar{\gamma}_{xy}}^{0(k)} + \bar{M}_{xy}^{(k)} \delta_{\bar{\gamma}_{xy}}^{-1(k)} \right) + \\ & \left( \bar{Q}_y^{(k)} \delta_{\bar{\gamma}_{yz}}^{0(k)} \right) + \left( \bar{Q}_x^{(k)} \delta_{\bar{\gamma}_{xz}}^{0(k)} \right) \end{aligned} \right] - \bar{q} \delta w \, dx dy = 0 \quad (16)$$

نهایتاً با جایگزینی کرنش‌ها بر حسب جابجایی‌ها، معادلات دیفرانسیلی حاکم بر مسئله، به صورت روابط (۱۷) الی (۲۹) نتیجه می‌شود.

$$\delta \bar{u} : \sum_{k=1}^5 (\bar{N}_{x,x}^{(k)} + \bar{N}_{xy,y}^{(k)}) = 0 \quad (17)$$

$$\delta \bar{v} : \sum_{k=1}^5 (\bar{N}_{y,y}^{(k)} + \bar{N}_{xy,x}^{(k)}) = 0 \quad (18)$$

$$\delta \bar{w} : \sum_{k=1}^5 (\bar{Q}_{x,x}^{(k)} + \bar{Q}_{y,y}^{(k)}) = \bar{q} \quad (19)$$

$$\delta \bar{\varphi}_x^{(1)} : -\frac{h_1}{2} (\bar{N}_{x,x}^{(1)} + \bar{N}_{xy,y}^{(1)}) + (\bar{M}_{x,x}^{(1)} + \bar{M}_{xy,y}^{(1)}) - \bar{Q}_x^{(1)} = 0 \quad (20)$$

$$\delta \bar{\varphi}_y^{(1)} : -\frac{h_1}{2} (\bar{N}_{y,y}^{(1)} + \bar{N}_{xy,x}^{(1)}) + (\bar{M}_{y,y}^{(1)} + \bar{M}_{xy,x}^{(1)}) - \bar{Q}_y^{(1)} = 0 \quad (21)$$

$$\delta \bar{\varphi}_x^{(2)} : -h_2 (\bar{N}_{x,x}^{(2)} + \bar{N}_{xy,y}^{(2)}) - \frac{h_2}{2} (\bar{N}_{x,x}^{(2)} + \bar{N}_{xy,y}^{(2)}) + (\bar{M}_{x,x}^{(2)} + \bar{M}_{xy,y}^{(2)}) - \bar{Q}_x^{(2)} = 0 \quad (22)$$

$$\delta \bar{\varphi}_y^{(2)} : -h_2 (\bar{N}_{y,y}^{(2)} + \bar{N}_{xy,x}^{(2)}) - \frac{h_2}{2} (\bar{N}_{y,y}^{(2)} + \bar{N}_{xy,x}^{(2)}) + (\bar{M}_{y,y}^{(2)} + \bar{M}_{xy,x}^{(2)}) - \bar{Q}_y^{(2)} = 0 \quad (23)$$

$$\delta \bar{\varphi}_x^{(3)} : \frac{h_3}{2} [(\bar{N}_{x,x}^{(3)} + \bar{N}_{xy,y}^{(3)}) + (\bar{N}_{x,x}^{(4)} + \bar{N}_{xy,y}^{(4)}) - (\bar{N}_{x,x}^{(2)} + \bar{N}_{xy,y}^{(2)}) - (\bar{N}_{x,x}^{(1)} + \bar{N}_{xy,y}^{(1)})] + (\bar{M}_{x,x}^{(3)} + \bar{M}_{xy,y}^{(3)}) - \bar{Q}_x^{(3)} = 0 \quad (24)$$

$$\delta \bar{\varphi}_y^{(3)} : \frac{h_3}{2} [(\bar{N}_{y,y}^{(3)} + \bar{N}_{xy,x}^{(3)}) + (\bar{N}_{y,y}^{(4)} + \bar{N}_{xy,x}^{(4)}) - (\bar{N}_{y,y}^{(2)} + \bar{N}_{xy,x}^{(2)}) - (\bar{N}_{y,y}^{(1)} + \bar{N}_{xy,x}^{(1)})] + (\bar{M}_{y,y}^{(3)} + \bar{M}_{xy,x}^{(3)}) - \bar{Q}_y^{(3)} = 0 \quad (25)$$

$$\delta \bar{\varphi}_x^{(4)} : h_2 (\bar{N}_{x,x}^{(5)} + \bar{N}_{xy,y}^{(5)}) + \frac{h_2}{2} (\bar{N}_{x,x}^{(4)} + \bar{N}_{xy,y}^{(4)}) + (\bar{M}_{x,x}^{(4)} + \bar{M}_{xy,y}^{(4)}) - \bar{Q}_x^{(4)} = 0 \quad (26)$$

$$\delta \bar{\varphi}_y^{(4)} : h_2 (\bar{N}_{y,y}^{(5)} + \bar{N}_{xy,x}^{(5)}) + \frac{h_2}{2} (\bar{N}_{y,y}^{(4)} + \bar{N}_{xy,x}^{(4)}) + (\bar{M}_{y,y}^{(4)} + \bar{M}_{xy,x}^{(4)}) - \bar{Q}_y^{(4)} = 0 \quad (27)$$

$$\delta \bar{\varphi}_x^{(5)} : \frac{h_1}{2} (\bar{N}_{x,x}^{(5)} + \bar{N}_{xy,y}^{(5)}) + (\bar{M}_{x,x}^{(5)} + \bar{M}_{xy,y}^{(5)}) - \bar{Q}_x^{(5)} = 0 \quad (28)$$

$$\delta \bar{\varphi}_y^{(5)} : \frac{h_1}{2} (\bar{N}_{y,y}^{(5)} + \bar{N}_{xy,x}^{(5)}) + (\bar{M}_{y,y}^{(5)} + \bar{M}_{xy,x}^{(5)}) - \bar{Q}_y^{(5)} = 0 \quad (29)$$

برای حل معادلات فوق از روش ناویر<sup>۱</sup> استفاده خواهد شد. شرایط مرزی ورق مستطیل شکل به صورت تکیه‌گاه‌های ساده<sup>۲</sup> در چهار لبه ورق می‌باشد که به فرم زیر تعریف می‌گردد [۲۰]:

$$\begin{cases} \frac{\partial^2 w}{\partial x^2} = 0 & \text{و} & w = 0 & @ & x = 0, x = a \\ \frac{\partial^2 w}{\partial y^2} = 0 & \text{و} & w = 0 & @ & y = 0, y = b \end{cases} \quad (30)$$

لذا بر این اساس میدان‌های جابجایی و چرخش در حوزه‌ی تبدیل-یافته، به صورت روابط (۳۱) الی (۳۵) بیان می‌گردد [۲۰].

$$\bar{u}(x, y, s) = \sum_{m=1}^{\infty} \sum_{n=1}^{\infty} \bar{U}_{mn}(s) \cos(\lambda_m x) \sin(\mu_n y) \quad (31)$$

<sup>1</sup> Navier Solution

<sup>2</sup> Simply Supported

ها و تنش‌ها در یک زمان خاص، از نرم‌افزار MATLAB برای تبدیل معکوس لاپلاس استفاده گردیده است.

### ۳- صحت‌سنجی نتایج

صحت‌سنجی نتایج روش تحلیلی پیشنهادی به دو صورت انجام پذیرفته است. ابتدا با ادغام لایه‌های چسب و رویه و میل دادن زمان به سمت صفر، نتایج حل الاستیک ورق ساندویچی سه‌لایه با پاسخ‌های مرجع [۱۸] مقایسه شده است. ورق ساندویچی تحلیل شده در مرجع [۱۸]، یک سه لایه ارتوتروپیک با آرایش  $[0/90/0]$  می‌باشد که بر روی تکیه‌گاه‌های ساده قرار دارد و یک بار گسترده یکنواخت بر سطح فوقانی آن وارد آمده است. ماتریس سختی هسته مطابق با رابطه (۴۲) بوده و ماتریس سختی رویه‌ها به صورت ضریبی (R) از آن تعریف شده است. سه لایه مورد نظر مربع شکل بوده و ضخامت رویه آن  $0/1$  ضخامت کل ورق می‌باشد. جدول (۱) نتایج خیز و تنش بدون بعد را در این مقایسه، به ازای مقادیر مختلف ضریب R نشان می‌دهد. درصد بسیار کم اختلاف نتایج در جدول ۱ حاکی از اعتبار روش نیمه تحلیلی پیشنهادی در حل مسئله مذکور دارد.

$$[Q]_{core} = \begin{bmatrix} 0.999781 & 0.231192 & 0 & 0 & 0 \\ 0.231192 & 0.524886 & 0 & 0 & 0 \\ 0 & 0 & 0.62931 & 0 & 0 \\ 0 & 0 & 0 & 0.266810 & 0 \\ 0 & 0 & 0 & 0 & 0.159914 \end{bmatrix} \quad (42)$$

$$[Q]_{face\ sheet} = R [Q]_{core} \quad (43)$$

همچنین صحت‌سنجی نتایج تحلیلی، بر اساس مقایسه با نتایج حل عددی از روش المان محدود سه‌بعدی در نرم‌افزار انسیس APDL نیز صورت گرفته است. برای مدل‌سازی ورق ساندویچی پنج‌لایه در این نرم‌افزار، از المان سه بعدی 20node186 استفاده شده است. در این مدل‌سازی، هر یک از رویه‌های مدرج تابعی به ۴۰ قسمت تقسیم بندی شده است. همچنین برای کاهش تعداد المان‌ها، از مدل ربع ورق استفاده شده است. طول و عرض ربع ورق به ۱۰ قسمت مساوی تقسیم شده است. هسته به ۴۰ قسمت و هر لایه چسب به ۲۰ قسمت تقسیم بندی شده است. شبکه‌بندی چسب و هسته به صورت درجه‌بندی با نسبت  $0/1$  به تحلیل مبتنی بر زمان برای حل ویسکوالاستیک بر پایه سری پرونی انجام پذیرفته است.

$$\bar{v}(x,y,s) = \sum_{m=1}^{\infty} \sum_{n=1}^{\infty} \bar{V}_{mn}(s) \sin(\lambda_m x) \cos(\mu_n y) \quad (32)$$

$$\bar{w}(x,y,s) = \sum_{m=1}^{\infty} \sum_{n=1}^{\infty} \bar{W}_{mn}(s) \sin(\lambda_m x) \sin(\mu_n y) \quad (33)$$

$$\bar{\phi}_x^{(k)}(x,y,s) = \sum_{m=1}^{\infty} \sum_{n=1}^{\infty} \bar{\Phi}_{xmn}^{(k)}(s) \cos(\lambda_m x) \sin(\mu_n y) \quad (34)$$

$k = 1, \dots, 5$

$$\bar{\phi}_y^{(k)}(x,y,s) = \sum_{m=1}^{\infty} \sum_{n=1}^{\infty} \bar{\Phi}_{ymn}^{(k)}(s) \sin(\lambda_m x) \cos(\mu_n y) \quad (35)$$

$k = 1, \dots, 5$

در این روابط، ضرایب  $\lambda_m$  و  $\mu_n$  به صورت زیر تعریف می‌شود [۲۰]:

$$\lambda_m = \frac{m\pi}{a}, \quad \mu_n = \frac{n\pi}{b} \quad (36)$$

همچنین فرم سری فوریه‌ی بار گسترده یکنواخت، در حوزه لاپلاس به شکل زیر نوشته می‌شود [۲۰]:

$$\bar{q}(x,y,s) = \sum_{m=1}^{\infty} \sum_{n=1}^{\infty} \bar{F}_{mn}(s) \sin(\lambda_m x) \sin(\mu_n y) \quad (37)$$

که در آن:

$$\bar{F}_{mn}(s) = \begin{cases} 16(q/s) & \text{اگر } m \text{ و } n \text{ فرد باشد.} \\ mn\pi^2 & \text{اگر } m \text{ یا } n \text{ زوج باشد.} \\ 0 & \end{cases} \quad (38)$$

با استفاده از روابط (۳۱) الی (۳۵) و قرار دادن توابع نظیر در معادلات حاکم، یک سری دستگاه معادلات در فضای لاپلاس به فرم رابطه (۳۹) ایجاد خواهد شد که با حل آن‌ها، ضرایب مجهول به صورت توابعی در حوزه لاپلاس به ازاء هر مقدار از  $m$  و  $n$  به دست خواهد آمد.

$$[\bar{R}]_{mn} \{\bar{X}\}_{mn} = \{\bar{Y}\}_{mn} \quad m, n = 1, \dots, \infty \quad (39)$$

درجایی‌که:

$$\{\bar{X}\}_{mn}^T = \left\{ \bar{U}_{mn}, \bar{V}_{mn}, \bar{W}_{mn}, \bar{\Phi}_{xmn}^{(1)}, \bar{\Phi}_{ymn}^{(1)}, \bar{\Phi}_{xmn}^{(2)}, \bar{\Phi}_{ymn}^{(2)}, \bar{\Phi}_{xmn}^{(3)}, \bar{\Phi}_{ymn}^{(3)}, \bar{\Phi}_{xmn}^{(4)}, \bar{\Phi}_{ymn}^{(4)}, \bar{\Phi}_{xmn}^{(5)}, \bar{\Phi}_{ymn}^{(5)} \right\} \quad (40)$$

$$\{\bar{Y}\}_{mn}^T = \{0, 0, \bar{F}_{mn}, 0, 0, 0, 0, 0, 0, 0, 0, 0\} \quad (41)$$

بالانویس  $T$  ( ) در روابط فوق دلالت بر ترانسپوز ماتریس دارد.

بر اساس روابط بین کرنش و جابجایی می‌توان مؤلفه‌های کرنش را در لایه‌های مختلف در فضای لاپلاس به دست آورد. همچنین روابط هوک در فضای لاپلاس (با احتساب ضرایب مهندسی معادل)، تنش‌ها را در هر لایه در فضای لاپلاس نتیجه خواهد داد. برای محاسبه جابجایی-

جدول ۱- نتایج خیز و تنش بی بعد در نقاط خاص از ورق ساندویچی مربعی سه‌لایه با رفتار الاستیک

$\tau_{xz}/q$		$\sigma_y/q$			$\sigma_x/q$			$\frac{wQ_{core}(1,1)}{hq}$	تنش بی بعد	R
f	e	d	c	b	d	c	b	a	نقطه	
۱/۹۸۳	۵/۳۴۱	۱۷/۶۷	۱۷/۶۷	۲۲/۲۱	۲۸/۵۴	۲۸/۵۴	۳۶/۰۲	۶۸۸/۵۸	سری‌ناواس [۱۸]	۱
۲/۰۰۶	۵/۴۰۳	۱۷/۵۲	۱۷/۵۲	۲۲/۰۶	۲۸/۴۴	۲۸/۴۴	۳۵/۹۳	۶۸۸/۶۵	حل حاضر	
۱/۱۶	۱/۱۶	۰/۸۵	۰/۸۵	۰/۶۷	۰/۳۵	۰/۳۵	۰/۲۵	۰/۲۸	درصد اختلاف	
۳/۲۶۸	۴/۳۶۴	۶/۱۶	۳۰/۱۰	۳۸/۴۹	۹/۳۴	۴۶/۶۲	۶۰/۳۵	۲۵۸/۹۷	سری‌ناواس [۱۸]	۵
۳/۳۸۰	۴/۳۷۶	۶/۰۲	۳۰/۱۱	۳۸/۵۳	۹/۳۰	۴۶/۵۰	۶۰/۳۰	۲۵۸/۸۹	حل حاضر	
۳/۴۴۳	۰/۲۷	۲/۲۷	۰/۰۳	۰/۱۰	۰/۴۳	۰/۲۶	۰/۰۸	۰/۰۳	درصد اختلاف	

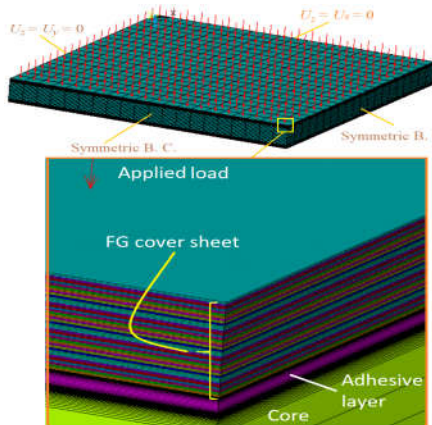
۳/۵۱۵	۴/۰۹۶	۳/۵۰	۳۳/۴۱	۴۳/۵۷	۴/۹۰	۴۸/۸۶	۶۳/۳۲	۱۵۹/۳۸	سریناواس [۱۸]	۱۰
۳/۶۵۲	۴/۰۹۶	۳/۳۵	۳۳/۴۸	۴۳/۷۰	۴/۸۷	۴۸/۷۰	۶۳/۳۱	۱۵۹/۴۴	حل حاضر	
۳/۹۰	۰/۰۰	۴/۲۸	۰/۲۱	۰/۳۰	۰/۶۱	۰/۳۳	۰/۰۲	۰/۰۴	درصد اختلاف	
۳/۵۷۷	۳/۹۶۴	۲/۴۹	۳۴/۹۶	۴۶/۴۲	۳/۲۴	۴۸/۳۰	۶۶/۷۹	۱۲۱/۷۲	سریناواس [۱۸]	۱۵
۳/۷۲۰	۳/۹۶۱	۲/۳۴	۳۵/۰۵	۴۶/۶۱	۳/۲۱	۴۸/۱۱	۶۶/۷۷	۱۲۱/۸۰	حل حاضر	
۴/۰۰	۰/۰۷	۶/۰۲	۰/۲۶	۰/۴۱	۰/۹۲	۰/۳۹	۰/۰۳	۰/۰۷	درصد اختلاف	

a: صفحه میانی ورق ساندویچی    b: سطح بالای رویه فوقانی    c: سطح پایین رویه فوقانی    d: سطح بالای هسته    e: صفحه میانی ورق    f: سطح اشتراک رویه و هسته

جدول ۲- خصوصیات مهندسی مواد و هندسه‌ی لایه‌های مختلف

ضخامت (mm)	خواص ویسکوالاستیک	خواص الاستیک	لایه
$h_1 = 1$	-	$E_c = 380 \text{ GPa}$ $E_m = 70 \text{ GPa}$ $\rho = 1, \nu_1 = 0.3$	رویه‌های مدرج تابعی
$h_2 = 0.2$	$G_0 = 1.236 \text{ GPa}$ $G_1 = 0.309 \text{ GPa}$ $\eta = 7.73 \text{ GPa}\cdot\text{hour}$ $K_0 = 4.533 \text{ GPa}$ $K_1 = 6.8 \text{ GPa}$ $\lambda = 113.33 \text{ GPa}\cdot\text{hour}$	$E_2 = 3.4 \text{ GPa}$ $\nu_2 = 0.375$	لایه‌های چسب
$h_3 = 7.6$	-	$E_3 = 2.8 \text{ GPa}$ $\nu_3 = 0.45$	هسته

سمت نواحی مرز چسب با رویه و هسته، ریزتر انجام شده است. نهایتاً شکل ۳ نحوه شبکه‌بندی، بارگذاری و شرایط مرزی مسئله را نمایش می‌دهد.



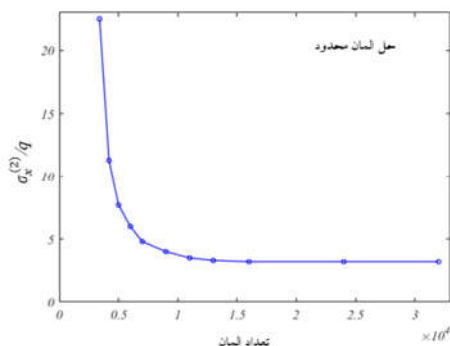
شکل ۳- نحوه المان‌بندی لایه‌های مختلف ورق ساندویچی در مدل ربع ورق در نرم‌افزار ANSYS

در این مقایسه، یک ورق ساندویچی مربعی متقارن با پهنا  $0.24$  متر تحت بار یکنواخت خارجی به میزان  $100 \text{ kPa}$  که بر روی تکیه‌گاه‌های ساده در چهار طرف قرار دارد در نظر گرفته شده است.

ضخامت کل

ورق ساندویچی برابر با  $0.1$  متر و ضخامت رویه، چسب و هسته به ترتیب  $0.1$  و  $0.02$  و  $0.076$  ضخامت کل ورق ساندویچی در نظر گرفته شده است. هسته و لایه‌های چسب، همگن و ایزوتروپ بوده و رویه‌ها ساختار FGM (در راستای ضخامت) دارند. رفتار رویه‌ها و هسته، الاستیک خطی و رفتار لایه‌های چسب به صورت ویسکوالاستیک خطی بیان می‌گردد. خواص مهندسی لایه‌های مختلف در جدول ۲ آمده است. ضرایب ویسکوالاستیک چسب، بر اساس مدل جامد سه‌پارامتری مطابق با شکل ۱۳ (در پیوست) بیان شده‌اند. در شکل ۴ همگرایی پاسخ به ازای تعداد المان‌های شبکه‌بندی مدل ربع ورق نشان داده شده است.

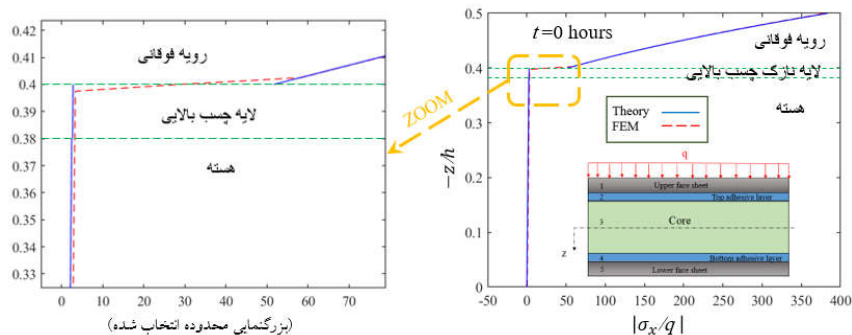
برای بررسی تنش‌ها در لایه‌ی چسب فوقانی، نقاط مرجعی از ورق ساندویچی، انتخاب شده است. جدول ۳ مختصات این نقاط را معرفی می‌کند.



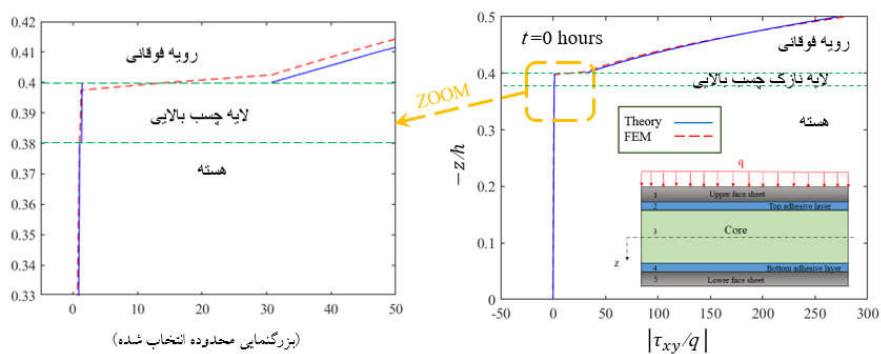
شکل ۴- نمودار همگرایی حل المان محدود در تعیین بیشینه تنش لایه چسب فوقانی، بر حسب تعداد المان‌های مدل ربع ورق ساندویچی در نرم‌افزار ANSYS

جدول ۳- موقعیت نقاط انتخاب شده بر روی لایه‌ی چسب فوقانی

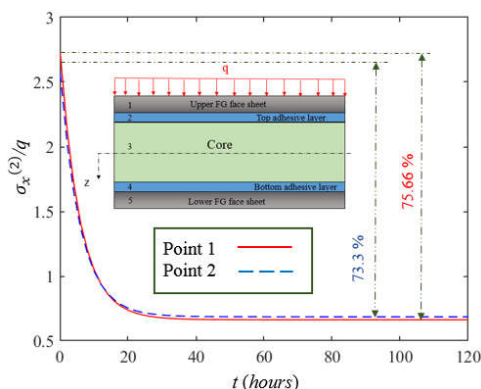
موقعیت	$x = \frac{a}{2}, y = \frac{b}{2}$		$x = a, y = 0$	
شماره	۱	۲	۳	۴
$z_2$	$-\frac{h_2}{2}$	$\frac{h_2}{2}$	$-\frac{h_2}{2}$	$\frac{h_2}{2}$



شکل ۵- نتایج حل نظری و عددی در تغییرات تنش عمودی درون صفحه  $\sigma_x$  در وسط ورق ( $x = a, y = b$ ) در امتداد ضخامت ورق ساندویچی در زمان  $t = 0$  ساعت.



شکل ۶- نتایج حل نظری و عددی در تغییرات تنش برشی درون صفحه  $\tau_{xy}$  در گوشه‌ی ورق ( $x = a, y = 0$ ) در امتداد ضخامت ورق ساندویچی در زمان  $t = 0$  ساعت.



شکل ۷- تغییرات تنش عمودی درون صفحه  $\sigma_x$  در سطوح بالا و پایین لایه چسب فوقانی در وسط ورق (در نقطه ۱ و ۲) با گذشت زمان

مطابق این نمودارها، افت تنش‌های درون صفحه‌ای در لایه‌ی چسب در اثر خاصیت ویسکوالاستیک بسیار زیاد و قابل ملاحظه است. سطح بیرونی لایه‌ی چسب مقدار افت تنش بیشتری را در مقایسه با سطح داخلی تجربه می‌کند. بر اثر آسایش مدول برشی چسب به میزان ۸۰٪ و آسایش مدول بالک چسب به میزان ۴۰٪ (مطابق با خواص ویسکوالاستیک در جدول ۲)، افت بیشینه تنش‌های عمودی  $\sigma_x$  و برشی  $\tau_{xy}$  در چسب، به ترتیب حدود ۷۵/۶۶٪ و ۸۰/۹۳٪ نتیجه شده است.

با توجه به تقارن مسئله، فقط لایه‌ی چسب فوقانی مد نظر قرار گرفته است. به منظور مقایسه نتایج حل المان محدود و حل تحلیلی حاضر، نمودارهای توزیع تنش در راستای ضخامت نیمه فوقانی ورق ساندویچی در زمان  $t = 0$  ساعت در شکل‌های ۵ و ۶ آورده شده است. انطباق بسیار خوب نتایج نظری و عددی، نشان از مناسب بودن روش پیشنهادی تحلیلی در حل ویسکوالاستیک ورق ساندویچی پنج‌لایه دارد.

#### ۴- نتایج

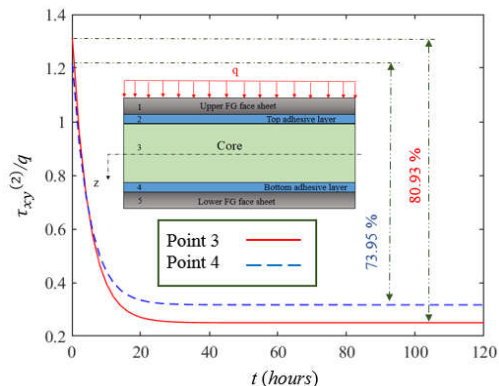
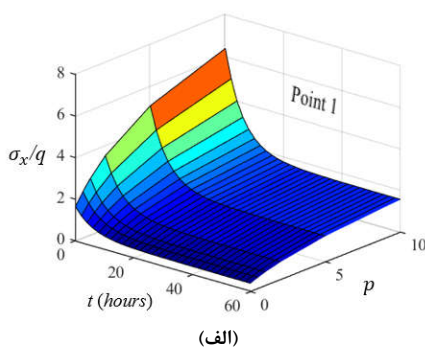
##### ۴-۱- بررسی تغییرات زمانی تنش‌ها

در این بخش، با استفاده از روش نیمه‌تحلیلی ارائه شده به بررسی تغییرات تنش در لایه‌های چسب ورق ساندویچی پنج‌لایه در گذر زمان پرداخته می‌شود. مشخصات مهندسی لایه‌ها و هندسه مسئله مطابق با جدول ۲ در نظر گرفته شده است. مقادیر تنش به صورت قدرمطلق و بدون بعد ارائه می‌شوند. در شکل‌های ۷ و ۸ به ترتیب تأثیر آسایش چسب بر روی تنش عمودی  $\sigma_x$  در نقاط ۱ و ۲ و تنش برشی  $\tau_{xy}$  در نقاط ۳ و ۴، در لایه‌ی چسب فوقانی نمایش داده شده است.

## ۴-۲- تحلیل پارامتری

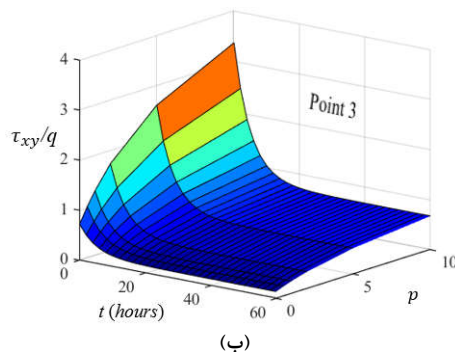
در این بخش، اثر پارامترهای مختلف در مدت زمان آسایش، بر روی تنش‌های درون‌صفحه‌ی لایه‌ی چسب بررسی می‌شود. با توجه به اینکه تنش‌های برون‌صفحه در چسب، تغییرات بسیار ناچیز و قابل اغماضی با زمان دارند در این بررسی لحاظ نشده‌اند. نتایج تنش، برای سطح بالایی لایه‌ی چسب فوقانی استخراج شده و به صورت قدرمطلق و بدون بعد ارائه گردیده است. در هر نمودار بجز پارامتری که به عنوان متغیر در نظر گرفته شده است، سایر خواص مکانیکی مواد و همچنین هندسه مسئله، مطابق با جدول ۲ می‌باشد.

شکل ۹ تاثیر توان تابع رویه‌های مدرج تابعی (p) را بر روی بیشینه‌ی تنش‌ها در سطح فوقانی لایه چسب بالایی با گذشت زمان نشان می‌دهد. با افزایش میزان p، میزان تنش‌های درون صفحه در لایه چسب به طور قابل ملاحظه‌ای افزایش می‌یابد. علت این امر افزایش سهم فلز (با میزان سختی کمتر نسبت به سرامیک) در رویه‌ها می‌باشد که از تحمل تنش رویه‌ها کاسته و بر میزان تنش در لایه‌های دیگر می‌افزاید. اما در عین حال نکته قابل توجه در این نمودارها این است که افت تنش‌های درون صفحه با گذشت زمان، برای مقادیر بالاتر p بیشتر می‌باشد. به عبارت دیگر کاربرد چسب ویسکوالاستیک در کاهش میزان تنش‌های درون صفحه‌ی چسب، در شرایط بحرانی مؤثرتر است.

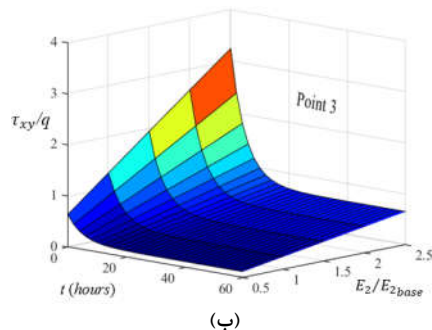
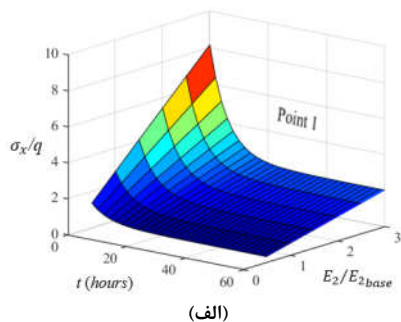


شکل ۸- تغییرات تنش برشی درون صفحه  $\tau_{xy}$  در سطوح بالا و پایین لایه چسب فوقانی در گوشه ورق (در نقطه ۳ و ۴) با گذشت زمان.

نتایج به دست آمده از تحلیل ورق پنج لایه در مورد تنش‌های برون‌صفحه نشان داد که اگرچه میزان این تنش‌ها قابل ملاحظه است اما خاصیت ویسکوالاستیک چسب بر روی این تنش‌ها، اثر قابل ملاحظه‌ای نداشته و تنش‌های برون‌صفحه در لایه‌های چسب با زمان، تغییر نکرده و تقریباً ثابت باقی می‌مانند. به همین جهت از ارائه نمودارهای مربوطه چشم پوشی شده است.

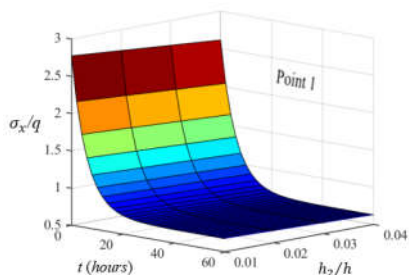


شکل ۹- تاثیر توان تابع توزیع مواد در رویه‌های مدرج تابعی ورق ساندویچی بر روی تنش‌های ایجاد شده در سطح بالایی لایه‌ی چسب فوقانی با گذشت زمان. الف- تنش  $\sigma_x$  در وسط ورق (نقطه ۱) ب- تنش  $\tau_{xy}$  در گوشه‌ی ورق (نقطه ۳)

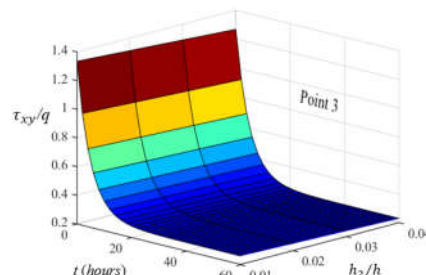


شکل ۱۰- تاثیر مدول الاستیسیته اولیه (زمان صفر) چسب بر روی تنش‌های ایجاد شده در سطح بالایی لایه‌ی چسب فوقانی با گذشت زمان. الف- تنش  $\sigma_x$  در وسط ورق (نقطه ۱) ب- تنش  $\tau_{xy}$  در گوشه‌ی ورق (نقطه ۳)



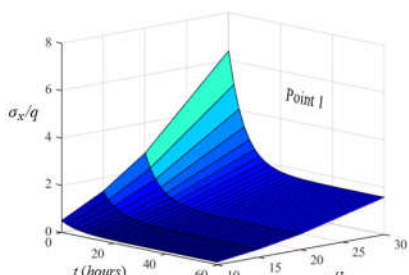


(الف)

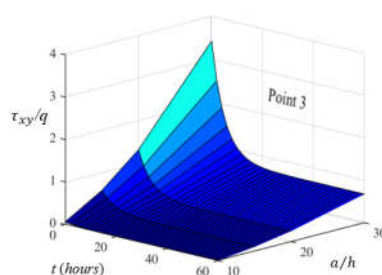


(ب)

شکل ۱۱- تاثیر ضخامت لایه چسب بر روی تنش‌های ایجاد شده در سطح بالایی لایه چسب فوقانی با گذشت زمان. الف- تنش  $\sigma_x$  در وسط ورق (نقطه ۱) ب- تنش  $\tau_{xy}$  در گوشه‌ی ورق (نقطه ۳)



(الف)



(ب)

شکل ۱۲- تاثیر ضخامت کل ورق ساندویچی بر روی تنش‌های ایجاد شده در سطح بالایی لایه چسب فوقانی با گذشت زمان. الف- تنش  $\sigma_x$  در وسط ورق (نقطه ۱) ب- تنش  $\tau_{xy}$  در گوشه‌ی ورق (نقطه ۳)

های درون صفحه در اثر خاصیت ویسکوالاستیک در لایه چسب در این وضعیت‌های بحرانی (ضخامت‌های پایین ورق) بسیار مورد توجه می‌باشد.

## ۵- نتیجه‌گیری

در این تحقیق، به بررسی زمانی تغییرات تنش‌ها در لایه‌های چسب یک ورق ساندویچی پنج‌لایه متقارن تحت بار گسترده عرضی پرداخته شد. رویه‌های ورق ساندویچی به صورت مدرج تابعی هستند و توسط دو لایه نازک چسب ویسکوالاستیک به هسته‌ی همگن متصل شده‌اند. از اصل تطابق آلفری برای شبیه‌سازی حل مسئله ویسکوالاستیک بر پایه‌ی روش حل الاستیک استفاده شده است. روند حل، بر پایه نظریه لایه‌ای و استفاده از نظریه برشی مرتبه اول برای هر لایه و استخراج معادلات حاکم بر اساس اصل کمینه انرژی پتانسیل صورت گرفت که برای حل معادلات از روش ناویر استفاده گردید. برای برگرداندن توابع به حوزه زمان، از روش معکوس لاپلاس‌گیری عددی استفاده شده است. تغییرات تنش‌های ایجاد شده در چسب، با گذشت زمان مورد بررسی قرار گرفت و اثر پارامترهای مختلف مواد و هندسه‌ی ورق بر روی آن ارزیابی شد.

نتایج کلی این تحقیق در زیر اشاره شده است:

- تنش‌های برون صفحه  $\sigma_z$  و  $\tau_{xz}$  (یا  $\tau_{yz}$ ) در لایه‌های چسب در گذر زمان تقریباً ثابت می‌مانند.
- تحت تأثیر خواص ویسکوالاستیک، بیشینه تنش‌های درون‌صفحه  $\sigma_x$  (یا  $\sigma_y$ ) و  $\tau_{xy}$  در لایه‌های چسب، به ترتیب به میزان  $75/66\%$  و  $80/93\%$  در گذر زمان کاهش داشته است.

در شکل ۱۰ تغییرات تنش در سطح بالایی لایه چسب فوقانی با گذشت زمان و تحت تاثیرات تغییر مدول الاستیسیته زمان صفر چسب ترسیم شده است. از این نمودارها مشخص است که تنش‌های درون صفحه در لایه چسب از تغییر مدول الاستیک چسب بسیار تاثیر پذیرفته‌اند و با افزایش سختی چسب، میزان تحمل تنش در این لایه بالا رفته و بر مقدار تنش‌های درون صفحه‌ی آن می‌افزاید. با گذشت زمان افت تنش در تنش‌های درون صفحه بسیار محسوس است و اثر ویسکوالاستیک چسب برای حالتی که چسب جنس سخت‌تری در زمان پیش از بارگذاری دارد، نمود بیشتری خواهد داشت.

در شکل ۱۱ تاثیر تغییر ضخامت لایه‌های چسب بر روی تنش‌های ایجاد شده در سطح فوقانی لایه چسب بالایی در گذر زمان آسایش نشان داده شده است. افزایش ضخامت لایه چسب در این مسئله، تاثیر کمی بر روی تنش‌های درون صفحه دارد. زیرا ضخامت چسب به نسبت ضخامت لایه‌های دیگر کوچک بوده و افزایش آن، باعث افزایش اندک در ضخامت کل ورق می‌شود که سختی ورق ساندویچی را به میزان کم افزایش داده و باعث افت اندک تنش‌های درون صفحه می‌گردد. در این شکل، ضخامت لایه‌ی چسب تا چهار برابر افزایش داده شده است اما میزان درصد کاهش تنش برشی حدود  $5/26\%$  درصد و تنش عمودی حدود  $5/62\%$  درصد بوده است. این درحالی است که افت تنش ناشی از اثر ویسکوالاستیک چسب به میزان بسیار قابل توجهی مشهود است.

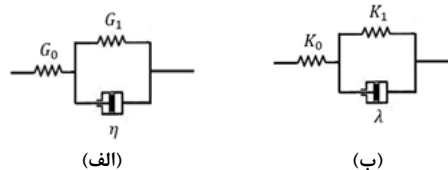
شکل ۱۲ تغییرات تنش در سطح فوقانی لایه چسب بالایی را بر اثر تغییر ضخامت کل ورق ساندویچی و در گذر زمان نشان می‌دهد. کاهش ضخامت ورق تاثیر بسیار بالایی بر روی افزایش قابل ملاحظه تنش‌های درون صفحه دارد، به دلیل این‌که از سختی خمشی سازه در مقابل تنش‌های ایجاد شده کاسته می‌شود. مجدداً سهم کاهش تنش-

- [2] Carrera E. Historical Review of Zig-Zag Theories for Multilayered Plates and Shells. *Applied Mechanics Reviews*. 2003 May 1;56(3):287-308.
- [3] Carrera E, Brischetto S. A Survey with Numerical Assessment of Classical and Refined Theories for The Analysis of Sandwich Plates. *Applied Mechanics Reviews*. 2009 010803.
- [4] Sayyad AS, Ghugal YM. On The Free Vibration Analysis of Laminated Composite and Sandwich Plates: A Review of Recent Literature with Some Numerical Results. *Composite Structures*. 2015 Oct 1; 129:177-201
- [5] Sayyad AS, Ghugal YM. Bending, Buckling and Free Vibration of Laminated Composite and Sandwich Beams: A Critical Review of Literature. *Composite Structures*. 2017 Jul 1; 171:486-504.
- [6] Thai HT, Kim SE. A Review of Theories for The Modeling and Analysis of Functionally Graded Plates and Shells. *Composite Structures*. 2015 Sep 15; 128:70-86.
- [7] Gür AK, Taşkaya S, Katı N, Yıldız T. Investigation of stress analysis in sandwich composite plates by ANSYS method. In 8th International Advanced Technologies Symposium (IATS'17), Turkey 2017.
- [8] Li D, Layerwise Theories of Laminated Composite Structures and Their Applications: A Review." *Archives of Computational Methods in Engineering*. 2021 Mar; 28:577-600.
- [9] Garg A, Belarbi MO, Chalak HD, Chakrabarti A. A Review of the Analysis of Sandwich FGM Structures. *Composite Structures*. 2021 Feb 15;258: 113427.
- [۱۰] شعبان م، ملاعلی پور م. بررسی تحلیلی اثر پارامترهای هندسی هسته های موجود بر روی خیز پائل های ساندویچی. *مجله مهندسی مکانیک دانشگاه تبریز*. ۱۳۹۹، د. ۵۰، ش. ۲، ص. ۱۲۳-۱۳۱.
- [۱۱] دارابی ا، ملکزاده فرد ک، نبوی س م، تحلیل کماتش پوسته مرکب دوانحنایی ساندویچی نسبتاً ضخیم با هسته مشبک و رویه های تقویت شده با نانولوله های کربنی. *مجله مهندسی مکانیک دانشگاه تبریز*. ۱۴۰۱، د. ۵۲، ش. ۳، ص. ۶۷-۷۶.
- [۱۲] مهندسی ن، طالبی توتی م. بررسی تحلیلی ارتعاشات غیرخطی پوسته ای استوانه ای ساندویچی دارای هسته با ضریب پواسون منفی. *مجله مهندسی مکانیک دانشگاه تبریز*. ۱۴۰۲، د. ۵۳، ش. ۲، ص. ۱۷۵-۱۸۳.
- [13] Raissi H, Shishehsaz M, Moradi S. Stress Distribution in A Five-Layer Sandwich Plate with FG Face Sheets Using Layerwise Method. *Mechanics of Advanced Materials and Structures*. 2019 Jul 18;26(14):1234-44.
- [14] Raissi H, Shishehsaz M, Moradi S. Applications of Higher Order Shear Deformation Theories on Stress Distribution in A Five-Layer Sandwich Plate. *Journal of Computational Applied Mechanics*. 2017 Dec 1;48(2):233-52.
- [15] Shishehsaz M, Raissi H, Moradi S. Stress Distribution in A Five-Layer Circular Sandwich Composite Plate based on The Third and Hyperbolic Shear Deformation Theories. *Mechanics of Advanced Materials and Structures*. 2020 Jun 1;27(11):927-40.
- [16] Kardooni MR, Shishehsaz M, Mosalmani R. Three-Dimensional Thermo-Mechanical Elastic Analysis of Functionally Graded Five Layers Composite Sandwich Plate on Winkler Foundations. *Journal of Composites Science*. 2022 Dec 5;6(12):372.
- [17] Kardooni MR, Shishehsaz M, Moradi S, Mosalmani R. Free Vibrational Analysis of a Functionally Graded Five-Layer Sandwich Plate Resting on a Winkler Elastic Foundation in a Thermal Environment. *Journal of Composites Science*. 2022 Oct 31;6(11):325.
- [18] Srinivas S, Rao AK. Bending, Vibration and Buckling of Simply Supported Thick Orthotropic Rectangular Plates and Laminates. *International Journal of Solids and Structures*. 1970 Nov 1;6(11):1463-81.
- [19] Brinson HF, Brinson LC. *Polymer engineering science and viscoelasticity. An introduction*. Springer 2008 Jan 99:157.
- [20] Reddy JN. *Mechanics of laminated composite plates and shells: theory and analysis*. CRC press; 2003 Nov 24.

- افزایش شاخص تابع رویه های مدرج تابعی (p) و مدول الاستیسیته زمان صفر چسب ( $E_2$ ) و همچنین کاهش ضخامت کل ورق ساندویچی (h) سبب افزایش زیاد تنش های درون صفحه در لایه های چسب می گردد، در حالی که میزان ضخامت لایه های چسب ( $h_2$ ) در تغییرات این تنش ها تأثیر ناچیز دارد.
- مقادیر تنش های درون صفحه و برون صفحه در لایه های چسب قابل ملاحظه بوده و باید در تحلیل ورق ساندویچی مدنظر قرار گیرد.
- روش پیشنهادی در تحلیل ویسکوالاستیک تنش در ورق های ساندویچی با احتساب لایه های چسب واسط رویه ها و هسته، مناسب و کارآمد ارزیابی شد.

## ۶- پیوست

در این تحقیق رفتار ویسکوالاستیک خطی لایه های چسب اپوکسی، بر اساس مدل جامد سه پارامتری برای تغییرات مدول برشی و مدول حجمی چسب (شکل ۱۳) مشخص شده است.  $G_0$  و  $G_1$  و  $\eta$  ثابت های مدل جامد سه پارامتری در تغییر شکل برشی و  $K_0$  و  $K_1$  و  $\lambda$  ثابت های نظیر در مدل تغییر حجم می باشند.  $G_0$  و  $K_0$  در این مدل، معادل مدول برشی و مدول بالک چسب در زمان صفر (یا وضعیت الاستیک) می باشند.



شکل ۱۳- مدل ویسکوالاستیک جامد خطی استاندارد. الف- برای رفتار برشی چسب. ب- برای تغییر حجم چسب.

متطابق با این مدل، مدول برشی و مدول حجمی در حوزه لاپلاس به فرم زیر نتیجه می شوند [۱۹]:

$$\bar{G}(s) = \frac{(q_0 + q_1 s)}{s(1 + p_1 s)} \quad (۱-پ)$$

$$\bar{K}(s) = \frac{(\tilde{q}_0 + \tilde{q}_1 s)}{s(1 + \tilde{p}_1 s)} \quad (۲-پ)$$

که در آن [۱۹]:

$$p_1 = \frac{\eta}{G_0 + G_1}, \quad q_0 = \frac{G_0 G_1}{G_0 + G_1}, \quad q_1 = \frac{\eta G_0}{G_0 + G_1} \quad (۳-پ)$$

$$\tilde{p}_1 = \frac{\lambda}{K_0 + K_1}, \quad \tilde{q}_0 = \frac{K_0 K_1}{K_0 + K_1}, \quad \tilde{q}_1 = \frac{\lambda K_0}{K_0 + K_1} \quad (۴-پ)$$

با توجه به روابط (۱-پ) و (۲-پ)، مدول های برشی و حجمی معادل یافته را به شیوه زیر می توان نمایش داد:

$$\bar{G}^*(s) = s\bar{G}(s) = \frac{(q_0 + q_1 s)}{(1 + p_1 s)} \quad (۵-پ)$$

$$\bar{K}^*(s) = s\bar{K}(s) = \frac{(\tilde{q}_0 + \tilde{q}_1 s)}{(1 + \tilde{p}_1 s)} \quad (۶-پ)$$

## ۷- مراجع

- [1] Carrera E. Theories and Finite Elements for Multilayered, Anisotropic, Composite Plates and Shells. *Archives of Computational Methods in Engineering*. 2002 Jun; 9:87-140.